

# Change-point Detection in Astronomical Data by using a Hierarchical Model and a Bayesian Sampling Approach

Nicolas Dobigeon<sup>†</sup>    Jean-Yves Tourneret<sup>†</sup>  
Jeffrey. D. Scargle<sup>◊</sup>

<sup>†</sup>IRIT/ENSEEIHT/TéSA  
Toulouse, FRANCE

<sup>◊</sup>Space Science Division, NASA  
Moffett Field, CA, USA

IEEE Workshop on Statistical Signal Processing, Bordeaux,  
2005

# Signal and Image Segmentation using Bayesian Inference

## ● Biomedical

- ☞ M. Lavielle, "Optimal segmentation of random processes," *IEEE Trans. on Signal Processing*, 1998.
- ☞ A. Gacek et al, "A genetic segmentation of ECG signals," *IEEE Trans. on Biomedical Engineering*, 2003

## ● Image Segmentation

- ☞ R. Fjortoft et al, "An Optimum multiedge Detector for SAR image segmentation," *IEEE Trans. on Geosci. Remote Sensing*, 1998.
- ☞ J-Y Tourneret et al, "Bayesian off-line detection of multiple change-points corrupted by multiplicative noise: application to SAR image edge detection," *Signal Processing*, 2003.

## ● Astronomy

- ☞ J. D. Scargle, "Studies in Astronomical Time Series Analysis: v. Bayesian blocks, a new method to analyze structure in Photon counting data," *The Astrophysical Journal*, 1998.
- ☞ B. Jackson et al, "An algorithm for optimal partitioning of data on an interval," *IEEE Sig. Proc. Letters*, 2005.

# Astronomical Data

## 1D Data

- The number of photons counted in successive equally spaced intervals (bins) is distributed according to a Poisson distribution.
- The Poisson rate parameter varies as determined by the actual changes in brightness of the Gamma Ray Burst (GRB) source. The intensity of the GRB as a function of time consists of a series of pulses.

☞ *Determine rise and decay times of the pulses*

## Multi-dimensional Data

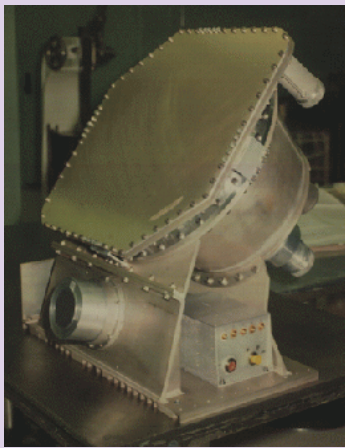
- The energies are recorded in four energy channels: 25 – 60keV, 60 – 110keV, 110 – 325keV and > 325keV by BATSE.

☞ *How GRB variability depends on the energy?*

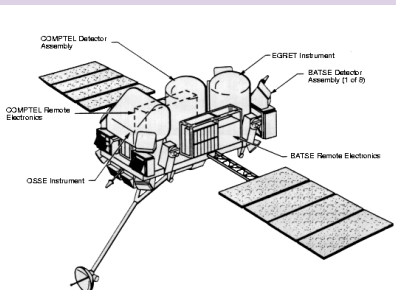
# Introduction

## BATSE module

Burst And Transient Source Experiment



## The Compton $\gamma$ -Ray Observatory



# Problem formulation

## Modeling

Arrival time of photons are modeled by a discrete time Poisson counting process:

$$y_i \sim \mathcal{P}(\lambda_k)$$

where  $k = 1, \dots, K$ ,  $i \in \mathcal{I}_k = [l_{k-1} + 1, l_k]$ , and :

- $\mathcal{P}(\lambda)$  denotes a Poisson distribution with parameter  $\lambda$ ,
- $K$  is the number of segments in the observed signal,
- $l_k$  is the sample point after which the  $k$ th change occurs in the signal (by convention  $l_0 = 0$  and  $l_K = n$  where  $n$  is the number of observed samples).

## Problem

Estimation of  $(l_k, \lambda_k)$  from data  $y = (y_i)_{i=1,\dots,n}$

# Hierarchical Bayesian Model

A standard reparametrization

Indicators :

$$\begin{cases} r_i = 1 \text{ if there is a changepoint at lag } i, \\ r_i = 0 \text{ otherwise,} \end{cases}$$

The unknown parameter vector

$$\theta = (r, \lambda) \in \Theta = \{0, 1\}^n \times \mathbb{R}^K$$

- $r = (r_1, \dots, r_n)$  with  $r_n = 1$ ,
- $\lambda = (\lambda_1, \dots, \lambda_K)$  with  $K(r) = \sum_{i=1}^n r_i$ ,

Hierarchical Bayesian inference

Bayes' theorem :

$$f(\theta|y) \propto \int f(y|\theta)f(\theta|\phi)f(\phi)d\phi$$



# Likelihood function

## Likelihood function

$$\begin{aligned}
 f(y|\theta) &= \prod_{k=1}^K \prod_{i \in I_k} \frac{\lambda_k^{y_i} \exp(-\lambda_k)}{y_i!} \\
 &= \frac{1}{\prod_{i=1}^n y_i!} \prod_{k=1}^K \lambda_k^{s_k(r)} \exp(-\lambda_k n_k(r)) \\
 &\propto \prod_{k=1}^K \lambda_k^{s_k(r)} \exp(-\lambda_k n_k(r)),
 \end{aligned}$$

- $s_k(r) = \sum_{i \in I_k} y_i$
- $n_k(r) = l_k - l_{k-1}$  (number of samples in the  $k$ th interval  $I_k$ )

# Parameter priors

## Indicator vector

- $\mathbf{P}(r_i = 0) = 1 - P$  and  $\mathbf{P}(r_i = 1) = P$  (do not depend on  $i$ ),
- the variables  $r_i$  (for  $i = 1, \dots, n$ ) are *a priori* independent,

The indicator prior distribution :

$$\begin{aligned} f(r|P) &= \prod_{i=1}^{n-1} P^{r_i} (1-P)^{1-r_i}, \\ &= P^{\sum_{i=1}^{n-1} r_i} (1-P)^{n-1-\sum_{i=1}^{n-1} r_i}, \end{aligned}$$

## Poisson parameters

Gamma distribution:

$$f(\lambda_k|\nu, \gamma) \sim \mathcal{G}(\nu, \gamma),$$

where  $\nu = 1$  and  $\gamma$  is an adjustable hyperparameter



# Hyperparameter priors

## Hyperparameter $\gamma$

Noninformative Jeffreys' prior:

$$f(\gamma) = \frac{1}{\gamma} \mathbb{I}_{\mathbb{R}^+}(\gamma).$$

## Hyperparameter $P$

Uniform distribution on  $[0, 1]$ :

$$f(P) = \mathbb{I}_{[0,1]}(P).$$

## Hyperparameter vector $\phi = (\gamma, P)$

Assuming the independence of different hyperparameters:

$$f(\Phi) = \frac{1}{\gamma} \mathbb{I}_{\mathbb{R}^+}(\gamma) \mathbb{I}_{[0,1]}(P).$$



# Hierarchical Bayesian Model

## Posterior changepoint distribution

After integration respect to the nuisance parameters  $P$  and  $\lambda_k$ :

$$f(r, \gamma | y) \propto C(r|y) \frac{1}{\gamma} \left( \frac{\gamma^\nu}{\Gamma(\nu)} \right)^K \prod_{k=1}^K \frac{\Gamma(n_k(r) + \nu)}{(s_k(r) + \gamma)^{n_k(r) + \nu}},$$

with

$$C(r|y) = \Gamma \left( \sum_{i=1}^{n-1} r_i + 1 \right) \Gamma \left( n - \sum_{i=1}^{n-1} r_i \right),$$

where  $\Gamma(t)$  is the Gamma function.

## A too complex posterior distribution...

- ☞ Simulation of samples distributed according to the  $f(r, \gamma | y)$  by using MCMC methods.

# Gibbs sampler for change-point detection

## Generation of samples distributed according to $f(r|\gamma, y)$

- $n-1$  Bernoulli draws:  $P(r_i = \epsilon | r_{-i}, \gamma, y) \propto f(r_i(\epsilon), \gamma | y).$

## Generation of samples distributed according to $f(\gamma|r, y)$

- Draw samples according to  $f(\lambda|\gamma, r, y)$

$$\lambda_k | \gamma, r, y \sim \mathcal{G}(s_k(r) + \nu, n_k(r) + \gamma),$$

- Draw samples according to  $f(\gamma|\lambda, r, y)$

$$\gamma | \lambda, r, y \sim \mathcal{G}\left(\nu K, \sum_{k=1}^K \lambda_k\right).$$

## Updating $P$

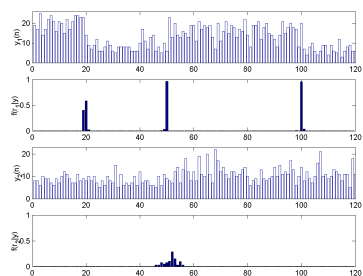
$$f(P|r, y) \propto P^{\sum_{i=1}^{n-1} r_i} (1 - P)^{n-1 - \sum_{i=1}^{n-1} r_i}.$$

# Synthetic data

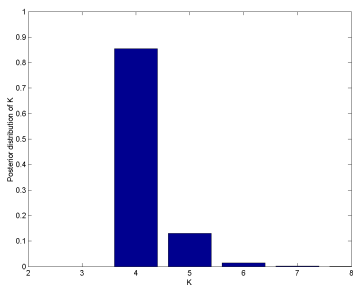
## Simulation Parameters

- Signal parameters:  $n = 120$ ,  $K = 4$ ,  $I = (20, 50, 100, 120)$ ,  $\lambda = (19, 9, 17, 7)$
- Algorithm: 64 Markov-Chains, 200 burn-in iterations, 800 iterations to compute the estimates

## Posterior distribution of $r$

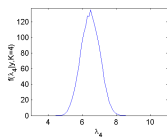
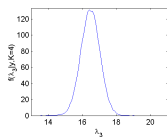
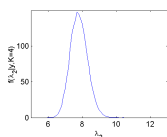
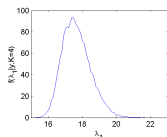


## Posterior distribution of $K$

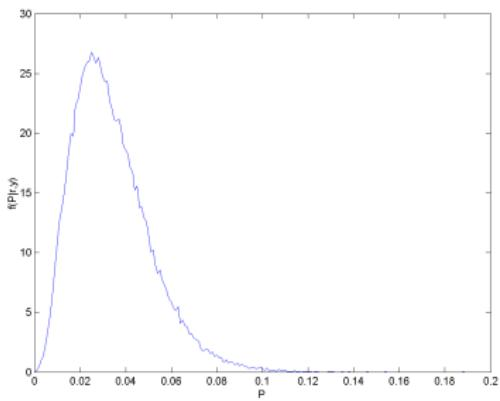


# Synthetic data

## Posterior distribution of $\lambda$



## Posterior distribution of $P$



☞ In good agreement with the theoretical results...

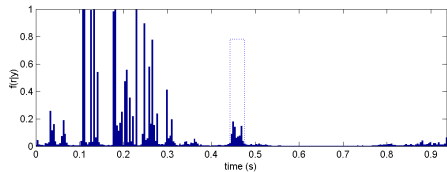
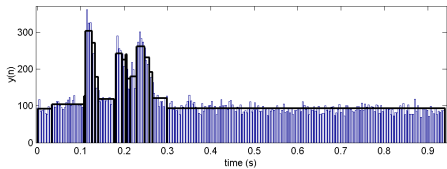
# Real Astronomical Data

## Parameters of the simulation

Raw data: 29000 photons, 256 time bins of  $3.68ms$ ,

Algorithm: 64 Markov-Chains, 50 burn-in iterations, 1500 computation iterations.

## Posterior distribution of changepoint locations



# Généralisation multi-capteurs

## Modélisation

La statistique des données observées dans les diverses bandes énergétiques peut être décrite comme suit :

$$y_{j,i} \sim \mathcal{P}(\lambda_{j,k})$$

où  $j = 1, \dots, J$ ,  $k = 1, \dots, K_j$ ,  $i \in \mathcal{I}_{j,k} = [l_{j,k-1} + 1, l_{j,k}[$ , et :

- $J$  est le nombre de signaux à segmenter,
- $K_j$  est le nombre de segments du  $j^{\text{ième}}$  signal observé,
- $l_{j,k}$  correspond à la  $k^{\text{ième}}$  rupture dans le  $j^{\text{ième}}$  signal,
- $\mathcal{P}(\lambda)$  désigne une loi de Poisson de paramètre  $\lambda$ .

## Problème

Estimation conjointe des  $l_{j,k}$  à partir des données :

$$y = (y_{j,i})_{j \in \{1, \dots, J\}, i \in \{1, \dots, n\}}$$



# Modèle Bayésien Hiérarchique

## Un reparamétrage classique

Introduction d'indicatrices :

$$\begin{cases} r_{j,i} = 1 \text{ s'il y a une rupture à l'instant } i \text{ du } j^{\text{ème}} \text{ signal,} \\ r_{j,i} = 0 \text{ sinon,} \end{cases}$$

## Le vecteur des paramètres inconnus

$$\theta = (r, \lambda) \in \Theta = \{0, 1\}^{nJ} \times \prod_{j=1}^J \mathbb{R}_+^{K_j}, K(r) = \sum_{i=1}^n r_i \text{ avec :}$$

- $r = (r_1, \dots, r_n)$  et  $r_i = (r_{1,i}, \dots, r_{J,i})^T$ ,
- $\lambda = (\lambda_1, \dots, \lambda_J)$  et  $\lambda_j = (\lambda_{j,1}, \dots, \lambda_{j,K_j})^T$ ,

## Inférence Bayésienne Hiérarchique

Théorème de Bayes :

$$f(\theta|y) \propto \int f(y|\theta)f(\theta|\phi)f(\phi)d\phi$$



# Vraisemblance

## Hypothèses

Les séquences  $y_l = (y_{l,1}, \dots, y_{l,n})$  et  $y_m = (y_{m,1}, \dots, y_{m,n})$  sont indépendantes pour  $l \neq m$

## Fonction de vraisemblance

Elle s'exprime comme :

$$f(y|\theta) \propto \prod_{j=1}^J \prod_{k=1}^{K_j} \lambda_{j,k}^{s_{j,k}(r)} \exp(-\lambda_{j,k} n_{j,k}(r)),$$

- $s_{j,k}(r) = \sum_{i \in \mathcal{I}_{j,k}} y_{j,i}$  (somme des points du  $k^{\text{ième}}$  intervalle  $\mathcal{I}_{j,k}$  du  $j^{\text{ième}}$  signal)
- $n_{j,k}(r) = l_{j,k} - l_{j,k-1}$  (longueur du segment  $\mathcal{I}_{j,k}$ )

# Lois a priori : Vecteur des indicatrices

## Hypothèses

- Les probabilités  $P(r_i = \epsilon)$  ne dépendent pas de  $i$  avec :
 
$$r_i = (r_{1,i}, \dots, r_{J,i})^T, \quad \epsilon = (\epsilon_1, \dots, \epsilon_J)^T \in \{0, 1\}^J,$$
- Les variables  $r_i$  (pour  $i = 1, \dots, n$ ) sont *a priori* indépendantes,

## Loi a priori des indicatrices

Sous ces hypothèses :

$$f(r|P) = \prod_{\epsilon \in \{0,1\}^J} P_\epsilon^{S_\epsilon(r)},$$

- $P_\epsilon \in \{P_{0\dots 0}, \dots, P_{1\dots 1}\}$ ,  $\epsilon \in \{0,1\}^J$
- $S_\epsilon(r)$  est le nombre d'instants tels que  $r_i = \epsilon$

## Introduction d'une corrélation entre les séquences

- Grande valeur de  $P_{0\dots 0} \Rightarrow$  absence de ruptures simultanées
- Grande valeur de  $P_{1\dots 1} \Rightarrow$  présence de ruptures simultanées



# Lois a priori : Paramètres de Poisson

## Hypothèses (lois conjuguées)

- $f(\lambda_{j,k}|\nu, \gamma) \sim \mathcal{G}(\nu, \gamma)$ , où :
  - $\nu = 1$ ,
  - $\gamma$  est un hyperparamètre,
- les paramètres  $\lambda_{j,k}$  sont *a priori* indépendants,

## Loi a priori des paramètres de Poisson

$$\begin{aligned}
 f(\lambda|\nu, \gamma) &= \prod_{j=1}^J \prod_{k=1}^{K_j} f(\lambda_{j,k}|\nu, \gamma), \\
 &= \prod_{j=1}^J \left[ \frac{\gamma^{\nu K_j} e^{-\gamma \sum_{k=1}^{K_j} \lambda_{j,k}}}{\Gamma(\nu)^{K_j}} \prod_{k=1}^{K_j} (\lambda_{j,k}^{\nu-1} \mathbb{I}_{\mathbb{R}^+}(\lambda_{j,k})) \right],
 \end{aligned}$$

où  $\mathbb{I}_{\mathbb{R}^+}$  est la fonction indicatrice sur  $\mathbb{R}^+$ .

# Lois a priori des hyperparamètres

## Hyperparamètre $\gamma$

Loi non-informative de Jeffrey :  $f(\gamma) = \frac{1}{\gamma} \mathbb{I}_{\mathbb{R}^+}(\gamma)$ .

## Hyperparamètre $P = (P_\epsilon)_{\epsilon \in \{0,1\}^J}$

Loi de Dirichlet de vecteur-paramètre  $(\alpha_{0\dots 0}, \dots, \alpha_{1\dots 1})^T$  définie sur le simplexe  $\mathfrak{P} = \left\{ P; \sum_{\epsilon \in \{0,1\}^J} P_\epsilon = 1, P_\epsilon > 0 \right\}$  :

$$f(P|\alpha) \sim \mathcal{D}_{2^J}(\alpha).$$

## Vecteur d'hyperparamètres $\phi = (\gamma, P)$

En supposant l'indépendance des différents hyperparamètres, :

$$f(\Phi|\alpha) = \left( \prod_{\epsilon \in \{0,1\}^J} P_\epsilon^{\alpha_\epsilon - 1} \right) \frac{1}{\gamma} \mathbb{I}_{\mathbb{R}^+}(\gamma) \mathbb{I}_{\mathfrak{P}}(P).$$



# Modèle Bayésien Hiérarchique

Loi a posteriori des instants de ruptures

Après intégration par rapport aux paramètres de nuisance  $P$  et  $\lambda_k$ :

$$f(r, \gamma | y) \propto \frac{C(r|y)}{\gamma} \left( \frac{\gamma^\nu}{\Gamma(\nu)} \right)^K \prod_{k=1}^K \frac{\Gamma(n_k(r) + \nu)}{(s_k(r) + \gamma)^{n_k(r) + \nu}},$$

avec

$$C(r|y) = \Gamma \left( \sum_{i=1}^{n-1} r_i + 1 \right) \Gamma \left( n - \sum_{i=1}^{n-1} r_i \right),$$

où  $\Gamma(t)$  est la fonction Gamma.

Une loi a posteriori trop complexe...

... pour obtenir une expression simple des estimateurs bayésiens.

☞ Simulation d'échantillons asymptotiquement distribués suivant  $f(r, \gamma | y)$  à l'aide d'une **méthode MCMC**.

# Echantillonneur de Gibbs pour la détection de rupture

Génération suivant  $f(r|\gamma, y)$

$$P(r_i = \epsilon | r_{-i}, \gamma, y) \propto f(r_i(\epsilon), \gamma | y),$$

Génération suivant  $f(\gamma|r, y)$

- Tirage d'échantillons suivant  $f(\lambda|\gamma, r, y)$

$$\lambda_{j,k} | \gamma, r, y \sim \mathcal{G}(s_{j,k}(r) + \nu, n_{j,k}(r) + \gamma),$$

- Tirage d'échantillons suivant  $f(\gamma|\lambda, r, y)$

$$\gamma | \lambda, r, y \sim \mathcal{G}\left(\nu \sum_{j=1}^J K_j, \sum_{j=1}^J \sum_{k=1}^{K_j} \lambda_{j,k}\right).$$

Mise à jour de  $P$

$$f(P|r, y, \alpha) \sim \mathcal{D}_{2^J}(\alpha_\epsilon + S_\epsilon(r)).$$

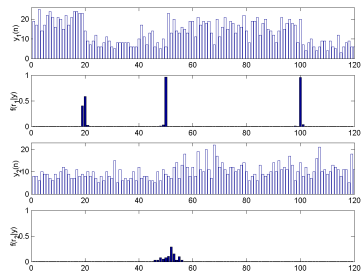


# Simulations : données synthétiques

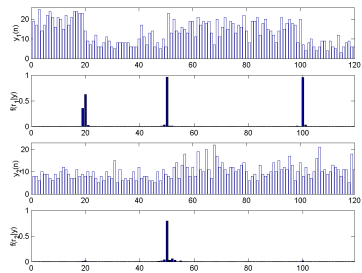
## Paramètres

- Paramètres du signal :  $J = 2$ ,  $n = 120$ ,  $K = 4$ ,  $l_1 = (20, 50, 100, 120)$ ,  $l_2 = (50, 120)$ ,  $\lambda_1 = (19, 9, 16, 6)$ ,  $\lambda_2 = (8, 11)$ ,
- Algorithme : 200 itérations de chauffage, 800 itérations utilisées pour les estimations.

## Segmentation non conjointe

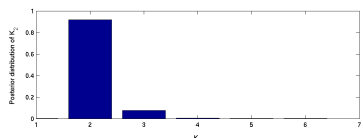
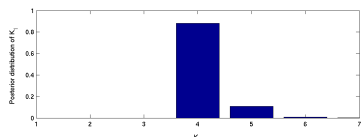


## Segmentation conjointe

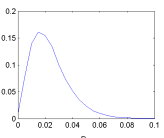
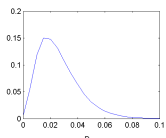
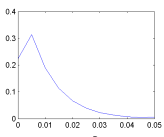
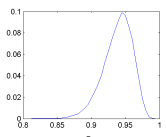


# Simulations : données synthétiques

## Nombre de changements



## Loi a posteriori de $P$



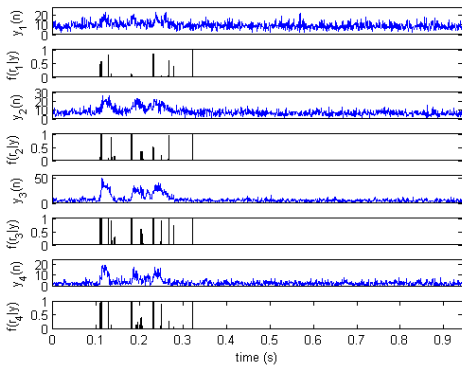
En accord avec les résultats théoriques...

# Simulations : données réelles

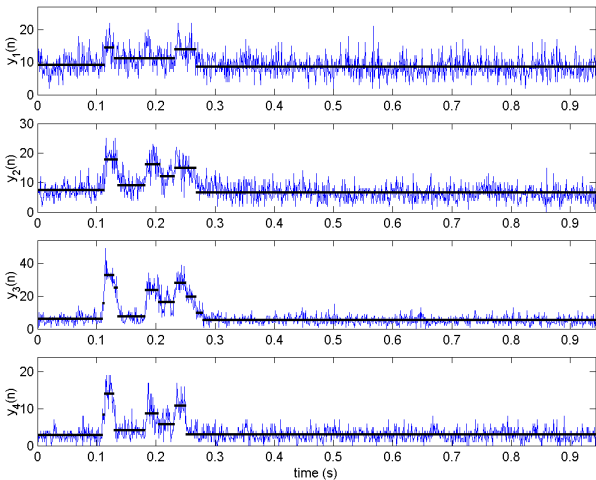
## Paramètres de simulation

4 bandes d'énergie : 25 – 60keV, 60 – 110keV, 110 – 325keV et > 325keV.  
Algorithme : 200 itérations de chauffage, 3300 itérations d'intérêts.

## Loi a posteriori des instants de ruptures



# Reconstruction du signal



# Conclusions

## Travail réalisé

Une méthode de segmentation conjointe de données astrophysiques issues de multiples capteurs basée sur :

- le caractère poissonnier des données,
- l'introduction d'une corrélation *a priori* des instants de ruptures (approche **conjointe**),
- un modèle Bayésien Hiérarchique,
- l'utilisation d'un échantillonneur de Gibbs.

## Perspectives

- Traitement de données astronomiques avec une autre mise en forme,
- Généralisation à d'autres types de signaux (vent, arc-tracking, bio-médical, ...).